

対流における1つの混合境界値問題

名大工学部 粟原真二

§1. 物理的問題設定

原子炉あるいは工業用熱交換機には、第1図(a)に示すよろくな冷却塔が附着している。このよろくな冷却塔の構造は第1図(b)に示すようだ。この底部に熱交換機があり、これで之を翻る浮力を起動力として自然対流が起る。この論文では、適当な物理的モデルをつくって問題を簡単化して、数学的解析を行う。

われわれは第1図(b)に示すように、塔の上部と底部で限られた塔の内部の流れのみ着目し、まず次のよろな近似を行う。

i) 内部の流れについては、密度変化の効果は浮力の項のみ考慮し (Boussinesq 近似)、粘性、熱伝導性は無視する。

ii) 底部の充填層 (=熱交換装置) は以下の仮定:

a) 充填層通過後の状態は、通路直前の圧力 p_0 と温度 T_0 により、通過前の流れの影響はうけない。

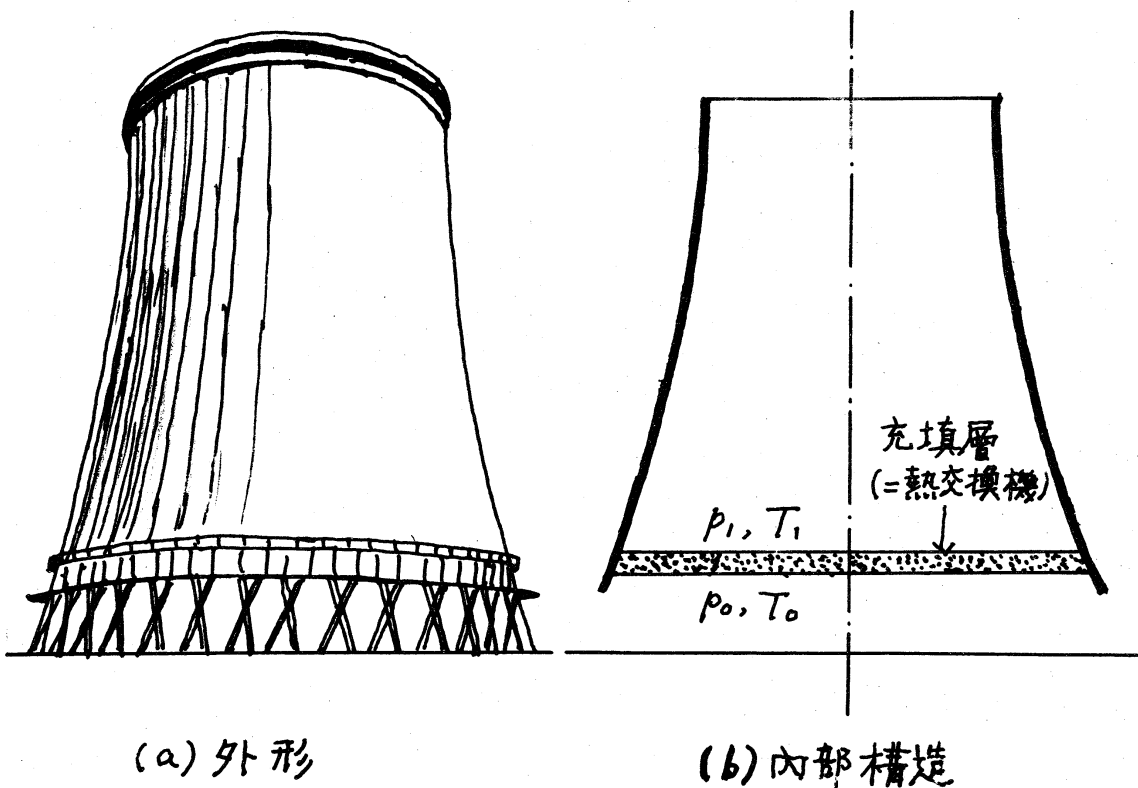


図1 図 冷却塔の概念図

b) 充填層通過後の流速の法線成分 w_i' は層前後の圧力差 $p_0 - p_1$ に比例し、前後の温度差は w_i' に比例する。

この論文では

$$w_i' = C(p_0 - p_1)^k \quad 0.5 \leq k \leq 1.5 \quad (1 \cdot 1)$$

$$T_1 - T_0 = (T_m - T_0) w_0 / (w_i' + w_0) \quad (1 \cdot 2)$$

という形を採用する。ここで C, k, T_m, w_0 は定数, p_1, T_1 は通過直後の圧力, 温度である。 $T_m \sqrt{\frac{T_0}{T_1}}$ の意味は

$$w_i' \rightarrow 0 \text{ のとき } T_1 = T_m \text{ (最高)} \quad (1 \cdot 3a)$$

$$w_r \rightarrow \infty \text{ に対して } T_r = T_0 \quad (1.36)$$

である。

iv) 塔の上部での境界条件。塔の上部は半径 a の円形の水平面とし、その面上で圧力 p 及び速度の接線成分 u, v が零となることをいふものとする。この論文では冷却塔が風にさらされないとして、軸対称流を仮定して。

$$p = p_0 \quad (1.4)$$

$$u = v = 0 \quad (1.5)$$

とおく。この p_0 は遠くでの圧力とする。

Bousinessg 近似の方程式は

$$\operatorname{div} \mathbf{v} = 0 \quad (1.6)$$

$$\rho_0 \frac{D \mathbf{v}}{DT} = -\operatorname{grad} p + \frac{\rho_0 g}{T_0} (T - T_0) e_z \quad (1.7)$$

である。ここで $\mathbf{v} = (u, v, w)$ は流速、 p, T は圧力と温度、 ρ_0 は密度(一定)、 e_z は垂直上方にとった方向の単位ベクトルである。 p_0, T_0, ρ_0 は $p_0 = R \rho_0 T_0$ (R は気体定数) を満足する基準の圧力、温度、密度で、これは冷却塔の外部に支配する一定値である。

自然対流においては、境界条件からさう了明確な代表的速度はない。そこで最も簡単な円筒形の塔の中の自然対流を考へ、これはあくまでも一定の上昇流速を代表値としてとる(第2回)。

冷却塔の底部の充填層と一様な
温められた空気は、一定の温度
 T_1^* ($T_1^* > T_0$, $T_1^* - T_0 = \Delta T$,
(1-2)) となり、熱伝導を省略
(2つ目から) 上昇して同じ
値を保つと考えられる。そのため
これは平行流を仮定し

$$u = v = 0$$

$$w = w(z)$$

となること、(1-6), (1-7) は

*2 円筒形冷却塔

$$\frac{\partial w}{\partial z} = 0 \quad (1-8)$$

$$\frac{\partial p}{\partial x} = 0, \frac{\partial p}{\partial y} = 0, \frac{\partial p}{\partial z} = \frac{\rho_0 g}{T_0} (T_1^* - T_0) \quad (1-9)$$

となる。(1-8) を境界条件 (1-1), (1-9) を境界条件 (1-4) と
組み解く

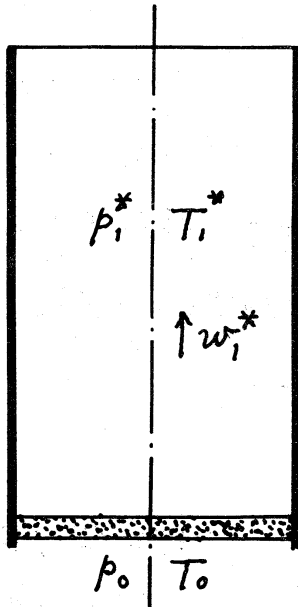
$$w = w_1^*, \quad p - p_0 = \frac{\rho_0 g}{T_0} \Delta T (z - h) \quad (1-10)$$

となる。(1-10) の第2式から p_1^* が求まる：

$$p_0 - p_1^* = \frac{\rho_0 g}{T_0} \Delta T h \quad (1-11)$$

(1-1), (1-2) (w_1^*, T_1^*, p_1^* など ΔT と h が既知), (1-11) は
未知数 w_1^*, T_1^*, p_1^* と $w_1^*, \Delta T (= T_1^* - T_0)$, Δp
 $= p_0 - p_1^*$ で 3 連立代数方程式となる：

$$w_1^* = C (\Delta p)^k$$



$$\left. \begin{aligned} \Delta T &= \Delta T_m w_0 / (w_i^* + w_0) \\ \Delta \phi &= \rho_0 g \Delta T h / T_0 \end{aligned} \right\} (1-12)$$

2 次から代表的密度 w_i^* が不等式。 (1-11) から
 $w_i^*, \Delta \phi$ を消去すると

$$C (\rho_0 g h / T_0)^k (\Delta T)^{k+1} + w_0 \Delta T - \Delta T_m w_0 = 0 \quad (1-13)$$

E33.

§ 2. 一般斜交座標系

\Rightarrow では、境界条件を完全に満足した後、一般斜交座標系を導入する。3 次元 Euclid 空間の 7 カム座標系

$$\left. \begin{aligned} x^1, x^2, x^3 &: \text{位置座標} \\ e_1, e_2, e_3 &: \text{基本(単位)ベクトル} \end{aligned} \right\} (2-1)$$

とかく。Euclid 空間の中には 3 つの独立平面の族を設定する。

$$\left. \begin{aligned} f_1^\alpha(x) &= \xi^\alpha \quad \alpha = 1, 2, 3 \\ x &= x^\alpha e_\alpha \equiv x^1 e_1 + x^2 e_2 + x^3 e_3 \\ \partial(f_1, f_2, f_3) / \partial(x^1, x^2, x^3) &\neq 0 \end{aligned} \right\} (2-2)$$

第 3 式は Jacobian の式である。 $\xi^\alpha = \text{const.}$ は 1, 2 の曲面に相当し、 ξ^1, ξ^2, ξ^3 は直角座標値を表すと。Euclid 空間中の 1 重加法則。 $\xi = \xi^\alpha (x^1, x^2, x^3)$ (三番と略記する) は座標の意味を持つ。(2-2) の解へ

$$x^\alpha = g^\alpha(\xi) \quad \alpha = 1, 2, 3 \quad (2-3)$$

$\xi = \tau$

$$x = x^\alpha e_\alpha = g^\alpha(\xi) e_\alpha = x(\xi) \quad (2-4)$$

Σ 3。 $\Rightarrow \tau$ 、座標 ξ の基本ベクトルを定義する:

$$e_\alpha = \partial x / \partial \xi^\alpha \quad (2-5)$$

$\alpha_1, \alpha_2, \xi^2 = \text{const.}, \xi^3 = \text{const.}$ の曲線の方向、 ξ^1 の增加方向を向く向量を e_1, e_2, e_3 。

ベクトル (dx^1, dx^2, dx^3) は τ 上の座標 τ $(d\xi^1, d\xi^2, d\xi^3)$ 上の力です:

$$dx \equiv dx^\alpha e_\alpha = d\xi^\alpha e_\alpha \quad (2-6)$$

2487

$$e_\alpha = \frac{\partial x^\lambda}{\partial \xi^\alpha} e_\lambda, \quad e_\alpha = \frac{\partial \xi^\lambda}{\partial x^\alpha} e_\lambda \quad (2-7)$$

の関係が立ちます。

逆基本ベクトル e_1', e_2', e_3' は

$$e^\alpha = e_\beta \times e_\gamma / (e_1, e_2, e_3) \quad (\alpha, \beta, \gamma) \text{ は } (1, 2, 3) \text{ の循環的互換} \quad (2-8)$$

τ 定義する。 $\Rightarrow \tau'$

$$(e_1, e_2, e_3) = e_1 \cdot (e_2 \times e_3) \quad (2-9)$$

は e_1, e_2, e_3 の平行六面体の体積である。すな

$$\begin{aligned} g^{\alpha\beta} &= e_\alpha \cdot e_\beta = \frac{\partial x^\lambda}{\partial \xi^\alpha} \frac{\partial x^\lambda}{\partial \xi^\beta} \\ g^{\alpha\beta} &= e^\alpha \cdot e^\beta = \frac{\partial \xi^\alpha}{\partial x^\lambda} \frac{\partial \xi^\beta}{\partial x^\lambda} \end{aligned} \quad \left. \right\} \quad (2-10)$$

τ' 定義する

$$\alpha_\lambda = g_{\alpha\beta} \alpha^\beta, \quad \alpha^\alpha = g^{\alpha\lambda} \alpha_\lambda \quad (2-11)$$

の関係が与えられる。基本ベクトル, 逆基本ベクトルの間には直交関係:

$$\alpha_\alpha \cdot \alpha^\beta = \delta_\alpha^\beta \quad (2-12)$$

が成立するが容易にわかる。

位置変化: $\xi \rightarrow \xi + d\xi$ に対する α_λ の変化は T_λ^μ で表される。

$$\begin{aligned} \alpha_\lambda(\xi + d\xi) &= \alpha_\lambda(\xi) + \frac{\partial \alpha_\lambda}{\partial \xi^\mu} d\xi^\mu + O(d\xi^2) \\ \frac{\partial \alpha_\lambda}{\partial \xi^\mu} &= \frac{\partial^2 \alpha}{\partial \xi^\mu \partial \xi^\lambda} = T_\lambda^\mu \end{aligned} \quad (2-13)$$

\sim とすると $v = v(x) = v(\xi)$ は $\alpha_\lambda, \alpha^\lambda$ に対して

$$\begin{aligned} v &= v^\lambda \alpha_\lambda = v_\lambda \alpha^\lambda \\ v^\lambda &= v \cdot \alpha^\lambda \quad v_\lambda = v \cdot \alpha_\lambda \end{aligned} \quad (2-14)$$

の表現が可能である。 v^λ を反変成分, v_λ を共変成分とい

う。 grad, div, rot は

$$\begin{aligned} \text{grad } v &= \alpha^\mu \frac{\partial}{\partial \xi^\mu} \\ \text{div } v &= \frac{\partial v^\lambda}{\partial \xi^\lambda} + T_\mu^\lambda v^\mu \\ (\text{rot } v)^\alpha &= \frac{1}{\sqrt{g_0}} \left(\frac{\partial v_\beta}{\partial \xi^\alpha} - \frac{\partial v_\alpha}{\partial \xi^\beta} \right) \quad (\alpha, \beta, \gamma) : \text{スカラーベクトル} \end{aligned} \quad (2-15)$$

である。 \Rightarrow

$$g_0 = \det(g_{\alpha\beta}) = (\alpha_1, \alpha_2, \alpha_3)^2 \quad (2-16)$$

である。

$$(2-15) \text{ は } \alpha^\alpha \cdot \alpha^\beta \cdot \left[\frac{D}{Dt} (v^\lambda \alpha_\lambda) + \frac{1}{\rho} \text{grad } p - K \right] = 0 \text{ となる。}$$

行方の二つは式(1-7)の基礎方程式(1-6), (1-7)より

$$\frac{\partial v^\lambda}{\partial \lambda} + P_\mu^\lambda v^\mu = 0 \quad (2-17)$$

$$\frac{\partial v^\alpha}{\partial t} + v^\lambda \frac{\partial v^\alpha}{\partial \lambda} + P_\mu^\alpha v^\lambda v^\mu = -\frac{1}{\rho_0} g^{\alpha\lambda} \frac{\partial p}{\partial \lambda} + k^\alpha \quad (2-18)$$

ここで、 v^α は

$$K = \frac{R_0}{T_0} (T - T_0)$$

とかけてある。

§ 3. 教学的問題設定

第3図(a)はその断面を示す回転双曲面で囲まれた高さ h , 上面の半径 a , 下面の半径 b の冷却塔を考へる。回転双曲面は円柱座標 (r, θ, z) によると, て

$$\left. \begin{aligned} r &= a (1 + (z-h)^2/c^2)^{1/2}, \quad c = ah/\sqrt{b^2-a^2} \\ 0 &\leq z \leq h \end{aligned} \right\} \quad (3-1)$$

で表わされるとする。 $\xi = z$

$$\left. \begin{aligned} \xi' &= (1 + (z-h)^2/c^2)^{-1/2} r \\ \xi^2 &= \theta, \quad \xi^3 = z \end{aligned} \right\} \quad (3-2)$$

のよどみ斜柱座標をえらべば

$$\xi' = a, \quad \xi^3 = 0, h \quad (3-3)$$

が筒の側面, 下面, 上面に対応する。

2. て次の上と無次元化を行ひ, 無次元の量 ξ に z に
じ記号をもつて:

$$\left. \begin{aligned} x/a &\rightarrow x, \quad t/(a/w_i^*) \rightarrow t, \quad w/w_i^* \rightarrow w \\ p'/\Delta p &\rightarrow p', \quad T'/\Delta T \rightarrow T' \end{aligned} \right\} \quad (3-4)$$

$$\xi^1, \xi^2, \xi^3 \rightarrow \dots \text{ と } z$$

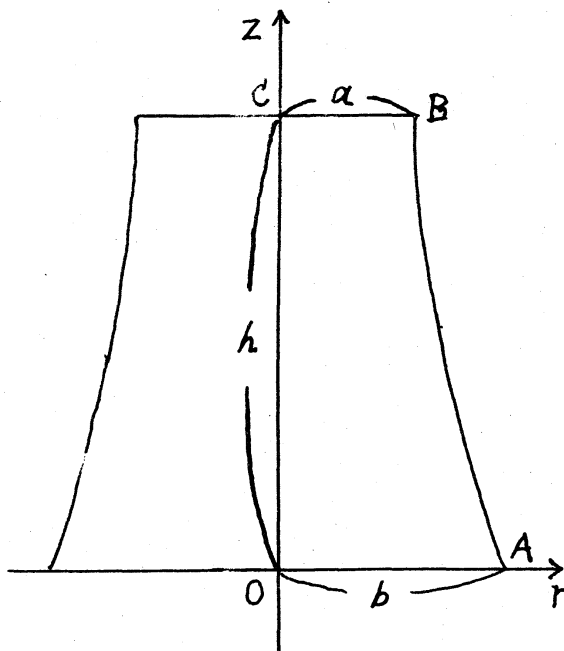
$$\xi^1/a \rightarrow \xi^1, \quad \xi^2 \rightarrow \xi^2, \quad \xi^3/a \rightarrow \xi^3 \quad (3-5)$$

$$a, b, c, h \text{ は}$$

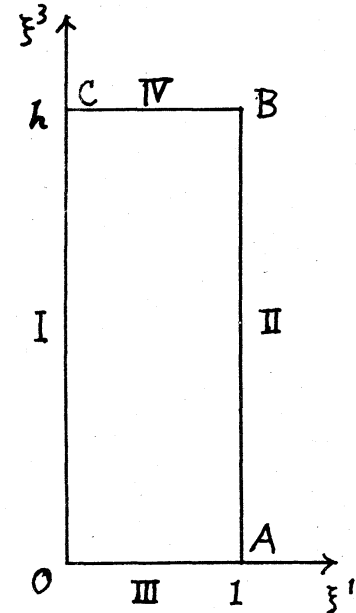
$$a/a \rightarrow 1, \quad b/a \rightarrow b, \quad c/a \rightarrow h/\sqrt{b^2-1}, \quad h/a \rightarrow h \quad (3-6)$$

~~左の~~ が対応する。

$\Rightarrow z$



(a) デカルト座標系



(b) 斜交座標系

第3図 回転双曲面壁で囲まれた冷却塔

$$\left. \begin{aligned} \mathbf{e}_r &= \cos \theta \mathbf{e}_x + \sin \theta \mathbf{e}_y \\ \mathbf{e}_{\theta} &= -\sin \theta \mathbf{e}_x + \cos \theta \mathbf{e}_y \\ H(\xi^3) &= 1 + (\xi^3 - h)^2/c^2 \\ I(\xi^2) &= (\xi^3 - h)/c^2 \end{aligned} \right\} \quad (3-7)$$

式 5.11 と (2-5), (2-9) は同じ

$$\left. \begin{aligned} \mathbf{a}_1 &= \sqrt{H} \mathbf{e}_r, \quad \mathbf{a}_2 = \xi' \sqrt{H} \mathbf{e}_{\theta}, \quad \mathbf{a}_3 = \frac{\xi' I}{\sqrt{H}} \mathbf{e}_r + \mathbf{e}_z \\ \mathbf{a}'_1 &= \frac{1}{\sqrt{H}} (\mathbf{e}_r - \frac{\xi' I}{\sqrt{H}} \mathbf{e}_z), \quad \mathbf{a}'_2 = \frac{\mathbf{e}_{\theta}}{\xi' \sqrt{H}}, \quad \mathbf{a}'_3 = \mathbf{e}_z \end{aligned} \right\} \quad (3-8)$$

式 2.3 と 3. $\mathbf{e}_x, \mathbf{e}_y$ は x, y の単位ベクトルである

$$x = r \cos \theta, \quad y = r \sin \theta \quad (3-9)$$

である。

軸対称の流れが式 2.3 と 3. で (2-18)⁷, (2-19) は

$$\frac{\partial v^1}{\partial \xi^1} + \frac{\partial v^3}{\partial \xi^3} + \frac{1}{\xi^1} v^1 + \frac{2I}{H} v^3 = 0 \quad (3-10)$$

$$\begin{aligned} \frac{\partial v^1}{\partial t} + v^1 \frac{\partial v^1}{\partial \xi^1} + v^3 \frac{\partial v^1}{\partial \xi^3} + \frac{2I}{H} v^1 v^3 + \frac{\xi'}{c^2 H} v^3 v^3 \\ = -\frac{A}{H} \left\{ 1 + (\xi' I)^2/H \right\} \frac{\partial p'}{\partial \xi^1} + \frac{A \xi' I}{H} \frac{\partial p'}{\partial \xi^3} - \frac{A}{h} \frac{\xi' I}{H} T' \end{aligned} \quad (3-11)$$

$$\frac{\partial v^3}{\partial t} + v^1 \frac{\partial v^3}{\partial \xi^1} + v^3 \frac{\partial v^3}{\partial \xi^3} = \frac{A \xi' I}{H} \frac{\partial p'}{\partial \xi^1} - A \frac{\partial p'}{\partial \xi^3} + \frac{A}{h} T' \quad (3-12)$$

である。

$$A = \frac{g h \Delta T}{T_0 w_i^{1/2}} \quad (3-13)$$

は無次元定数である。更に二つの方程式 (= 熱伝導方程式) は

$$\frac{\partial T'}{\partial t} + v^1 \frac{\partial T'}{\partial \xi^1} + v^3 \frac{\partial T'}{\partial \xi^3} = 0 \quad (3-14)$$

とを3。

軸対称の流れでは、流れの関数 $\bar{\Psi}$ を導入し、また温度 ϑ は $\alpha_2 (\alpha_1 + \alpha^2)$ で表されるが、

$$\nu' = \frac{1}{\xi' H} \frac{\partial \bar{\Psi}}{\partial \xi^3}, \quad \nu^3 = -\frac{1}{\xi' H} \frac{\partial \bar{\Psi}}{\partial \xi^1} \quad (3-15)$$

$$\vartheta = \omega \alpha_2 \quad (3-16)$$

とすると、(3-15) は (3-10) の自動的満足となる。 $\xi' = 0$ の境界条件を考慮して、これらから

$$\bar{\Psi} = \bar{\Psi}/\xi', \quad \Omega = \omega \xi' \vartheta \quad (3-17)$$

を導入し、 $\bar{\Psi}$ 、 Ω 、 T' は $P = p' + \frac{1}{2A} v^2$ によって v の連続の方程式を導く：

$$D\bar{\Psi} = -\xi' (2C_2^2 + C_3) \frac{\partial \bar{\Psi}}{\partial \xi^1} - \frac{1}{\xi' H} \left(\frac{\partial \bar{\Psi}}{\partial \xi^1} - \frac{\bar{\Psi}}{\xi'} \right) + 2C_3 \frac{\partial \bar{\Psi}}{\partial \xi^3} - (C_3 + C_2^2) \bar{\Psi} + H\Omega \quad (3-18)$$

$$DP = -\left(\frac{1}{\xi'} C_1 + \xi' C_3 \right) \frac{\partial P}{\partial \xi^1} + \frac{1}{A} \left[\left\{ D\bar{\Psi} + (2C_1/\xi' + \xi' C_3) \frac{\partial \bar{\Psi}}{\partial \xi^1} - C_2 \frac{\partial \bar{\Psi}}{\partial \xi^3} + C_3 \bar{\Psi} \right\} \Omega + \left\{ C_1 \left(\frac{\partial \bar{\Psi}}{\partial \xi^1} + \frac{\bar{\Psi}}{\xi'} \right) - \xi' C_2 \frac{\partial \bar{\Psi}}{\partial \xi^3} \right\} \frac{\partial \Omega}{\partial \xi^1} + \left\{ -\xi' C_2 \left(\frac{\partial \bar{\Psi}}{\partial \xi^1} + \frac{\bar{\Psi}}{\xi'} \right) + \frac{\partial \bar{\Psi}}{\partial \xi^3} \right\} \frac{\partial \Omega}{\partial \xi^3} \right] + \frac{1}{h} \left(-\xi' C_2 \frac{\partial T'}{\partial \xi^1} + \frac{\partial T'}{\partial \xi^3} \right) \quad (3-19)$$

$$-H \frac{\partial \Omega}{\partial t} + \frac{\partial(\bar{\Psi}, \Omega)}{\partial(\xi^1, \xi^3)} + \frac{\bar{\Psi}}{\xi'} \frac{\partial \Omega}{\partial \xi^3} = -\frac{1}{\xi'} \Omega \frac{\partial \bar{\Psi}}{\partial \xi^3} + \frac{A}{h} \frac{\partial T'}{\partial \xi^1} \quad (3-20)$$

$$-H \frac{\partial T'}{\partial t} + \frac{\partial(\bar{\Psi}, T')}{\partial(\xi^1, \xi^3)} + \frac{\bar{\Psi}}{\xi'} \frac{\partial T'}{\partial \xi^3} = 0 \quad (3-21)$$

$$P = p' + \frac{1}{2A} \left\{ C_1 \left(\frac{\partial \bar{\Psi}}{\partial \xi^1} + \frac{\bar{\Psi}}{\xi'} \right)^2 - 2\xi' C_2 \left(\frac{\partial \bar{\Psi}}{\partial \xi^1} + \frac{\bar{\Psi}}{\xi'} \right) \frac{\partial \bar{\Psi}}{\partial \xi^3} + \left(\frac{\partial \bar{\Psi}}{\partial \xi^3} \right)^2 \right\} \quad (3-22)$$

$$D = C_1 \frac{\partial^2}{\partial \xi^1 \partial \xi^1} - 2\xi' C_2 \frac{\partial^2}{\partial \xi^1 \partial \xi^3} + \frac{\partial^2}{\partial \xi^3 \partial \xi^3} \quad (3-23)$$

$$C_1(\xi^1, \xi^3) = \frac{1}{H} \left(1 + \frac{(\xi^1 I)^2}{H} \right), \quad C_2(\xi^3) = \frac{I}{H}, \quad C_3(\xi^3) = \frac{1}{H} \left(\frac{2I^2}{H} - \frac{1}{c^2} \right) \quad (3-24)$$

次の境界条件を考之。 (ξ', ξ^3) の空間ではやれわんの考之の領域は $0 \leq \xi' \leq 1$, $0 \leq \xi^3 \leq h$ の長方形である。辺、頂点を第3回(b)に示すよし、I, II, III, IV, O, A, B, C と名づけ。I は中心軸、II は回転双曲面の壁、III, IV は下面、上面をなすとする。

\rightarrow 1. w が一定と仮定、熱伝導を無視し直等の物理的条件とする

$$\text{I: } u=0, \frac{\partial T'}{\partial z} = 0$$

$$\text{II: } v_n = 0, \frac{\partial T'}{\partial n} = 0$$

$$\text{III: } w = (-p')^k, T' = \frac{1+w_0}{w+w_0}$$

$$\text{IV: } p' = 0, u = 0$$

\rightarrow T' , u は z 方向の速度成分、 n は回転双曲面壁の法線成分をなす。これらの条件は右の 5 の斜交座標にはんじてつまう：

$$\text{I: } a' \cdot n = v' = \frac{1}{H} \frac{\partial \bar{\varphi}}{\partial \xi^3} = 0 \Rightarrow \frac{\partial \bar{\varphi}}{\partial \xi^3} = 0 \Rightarrow \bar{\varphi} = \text{const.} \equiv 0 \quad (3-25)$$

$$a' \cdot \text{grad } T' = \frac{\partial T'}{\partial \xi^1} = 0 \quad (3-26)$$

$$\text{II: } v' = 0 \Rightarrow \frac{\partial \bar{\varphi}}{\partial \xi^3} = 0 \Rightarrow \bar{\varphi} = \text{const.} \equiv \bar{\varphi}_{\text{II}} \quad (3-27)$$

$$a' \cdot \text{grad } T' = g'' \frac{\partial T'}{\partial \xi^1} = 0 \Rightarrow \frac{\partial T'}{\partial \xi^1} = 0 \quad (3-28)$$

$$\text{III: } w = a_2 \cdot n = a^3 \cdot n = v^3 = -\frac{1}{H} \left(\frac{\partial \bar{\varphi}}{\partial \xi^1} + \frac{\bar{\varphi}}{\xi^1} \right) = (-p')^k$$

$$\Rightarrow \frac{1}{\xi^1 H_{\text{III}}} \frac{\partial}{\partial \xi^1} (\xi^1 \bar{\varphi}) = -(-p')^k$$

$$\Rightarrow \bar{\varphi} = -\frac{H_{\text{III}}}{\xi^1} \int_0^{\xi^1} (-p')^k d\xi^1, H_{\text{III}} = 1 + h^2/c^2 \quad (3-29)$$

$$T' = (1+w_0) / \{(-p')^k + w_0\} \quad (3-30)$$

$$\text{IV: } p' = 0 \Rightarrow P = \frac{1}{2A} \left(\frac{\partial \bar{Q}}{\partial \bar{x}_1} + \frac{\bar{Q}}{\bar{x}_1} \right)^2 \quad (3-31)$$

$$u = 0 \Rightarrow \frac{\partial \bar{Q}}{\partial \bar{x}_3} = 0 \quad (3-32)$$

基礎方程式 (3-18) ~ (3-21) は \bar{Q} , \bar{U} , T' , P が \bar{x}_1 の非線形の連立偏微分方程式である。 D は Laplacian の逆の演算子で、 P は Poisson 方程式、 \bar{Q} , T' は対流形の偏微分方程式で、各項は非齊次項と考えられる。数値計算を行えばあり、初期値を \bar{x}_1 の値で代用する。以下、問題を定常とし、 \bar{x}_1 と \bar{x}_3 について、計算スティップの右の値で代用する。

\bar{Q} , T' の対流形の方程式は解析的ではなく、右端の影響が遠く（持続曲線）に及んでいて、直接解くことは不可能である。しかし、左端より上部の数値計算を行なうのが適している。そのため、境界条件として、I, II, III の値を必要とする。

(3-25) ~ (3-28):

$$\frac{\partial \bar{Q}}{\partial \bar{x}_3} = \frac{\partial T'}{\partial \bar{x}_1} = 0 \quad \text{on I and II} \quad \cancel{(3-33)}$$

を満たす。 (3-20), (3-21) は

$$\left. \begin{aligned} & \left(\frac{\partial \bar{Q}}{\partial \bar{x}_1} + \frac{\bar{Q}}{\bar{x}_1} \right) \frac{\partial \bar{Q}}{\partial \bar{x}_3} = 0 \\ & \left(\frac{\partial \bar{Q}}{\partial \bar{x}_1} + \frac{\bar{Q}}{\bar{x}_1} \right) \frac{\partial T'}{\partial \bar{x}_3} = 0 \end{aligned} \right\} \text{on I, II} \quad (3-34)$$

となる。 (3-15), (3-17) から $\frac{\partial \bar{Q}}{\partial \bar{x}_1} + \frac{\bar{Q}}{\bar{x}_1} = -Hv^3$ となり、I, II で $v^3 \neq 0$ となるため (ただし $H \neq 0$)、一般に $\frac{\partial \bar{Q}}{\partial \bar{x}_1} + \frac{\bar{Q}}{\bar{x}_1} \neq 0$ (on I & II)。したがって

$$\Omega = 0, \quad T' = T_{\text{II}} \quad \text{on I} \quad (3-34)$$

$$\Omega = \Omega_{\text{II}}, \quad T' = T_{\text{II}} \quad \text{on II} \quad (3-35)$$

Σ 33. (3-34) の $\Omega = 0$ は (3-18) からあてはまる。

T' の III における境界条件は (3-30) で与えられており、IV における境界条件を和める必要がある。IV, すなはち充填層直線、流れは

$$\left. \begin{aligned} \mathbf{v} &= \mathbf{v}_{\text{rot}} + \mathbf{v}_{\text{in}} \\ \mathbf{v}_{\text{rot}} &= w_i \mathbf{e}_z \\ \text{rot } \mathbf{v}_{\text{in}} &= 0 \quad \mathbf{v}_{\text{in}} \cdot \mathbf{e}_z = 0 \end{aligned} \right\} \quad (3-36)$$

と仮定する。充填層中の流れは粘性流であり、一般に温度 \rightarrow 流速 w_i ある。 $(w_i \neq 0)$ 、充填層と直層との界面の流れ $w_i \mathbf{e}_z$ は一般に温度 \rightarrow w_i 。充填層より上の流れは、圧力勾配、浮力等による起された流れが重畳してなる、この流れは温度 \rightarrow 仮定してよいである。Σ 2 で III では

$$\begin{aligned} \Omega &= \xi' \omega = \frac{1}{H_{\text{II}}} \left(\frac{\partial v_{\text{rot},1}}{\partial \xi^3} - \frac{\partial v_{\text{rot},2}}{\partial \xi^1} \right) \\ &= -\frac{1}{H_{\text{II}}} \frac{\partial}{\partial \xi^1} \alpha_3 \cdot (\alpha^3 w_i) = -\frac{1}{H_{\text{II}}} \frac{\partial}{\partial \xi^1} (-\mu')^k \end{aligned} \quad (3-37)$$

Σ 3.

以上の境界条件は、(3-25), (3-27), (3-29), (3-32) などと一致する。P の I, II, III の境界条件とするために運動方程式:

$$-(\mathbf{v} \times \boldsymbol{\Omega}) = -A \text{grad } P + \frac{A}{h} T' \alpha^3 \quad (3-38)$$

Σ 3. 2 はまた

$$-H(-v^3\alpha^1 + v^1\alpha^3)\Delta = -A\left(\frac{\partial P}{\partial \bar{z}^3}, \alpha^1 + \frac{\partial P}{\partial \bar{z}^3}\alpha^3\right) + \frac{A}{h}T'\alpha^3 \quad (3-39)$$

と書けます。I, II のかわりに α_3 を行います。I, II 上で積分し、III における α_1 を行うと III 上で積合して

$$P = P_C + \frac{1}{h}T_I(\bar{z}^3 - h), \quad P_C = \frac{2}{A}\left(\frac{\partial \bar{Q}}{\partial \bar{z}^3}\right)_C^2 \quad \text{on I} \quad (3-40)$$

$$P = P_B + \frac{1}{h}T_{II}(\bar{z}^3 - h), \quad P_B = \frac{1}{2A}\left(\frac{\partial \bar{Q}}{\partial \bar{z}^3}\right)_A + \left(\frac{\partial \bar{Q}}{\partial \bar{z}^3}\right)_B^2 \quad \text{on II} \quad (3-41)$$

$$\frac{\partial P}{\partial \bar{z}^3} = \frac{1}{h} \square \frac{\partial \bar{Q}}{\partial \bar{z}^3} + \frac{1}{h} T' \quad \text{on III} \quad (3-41)$$

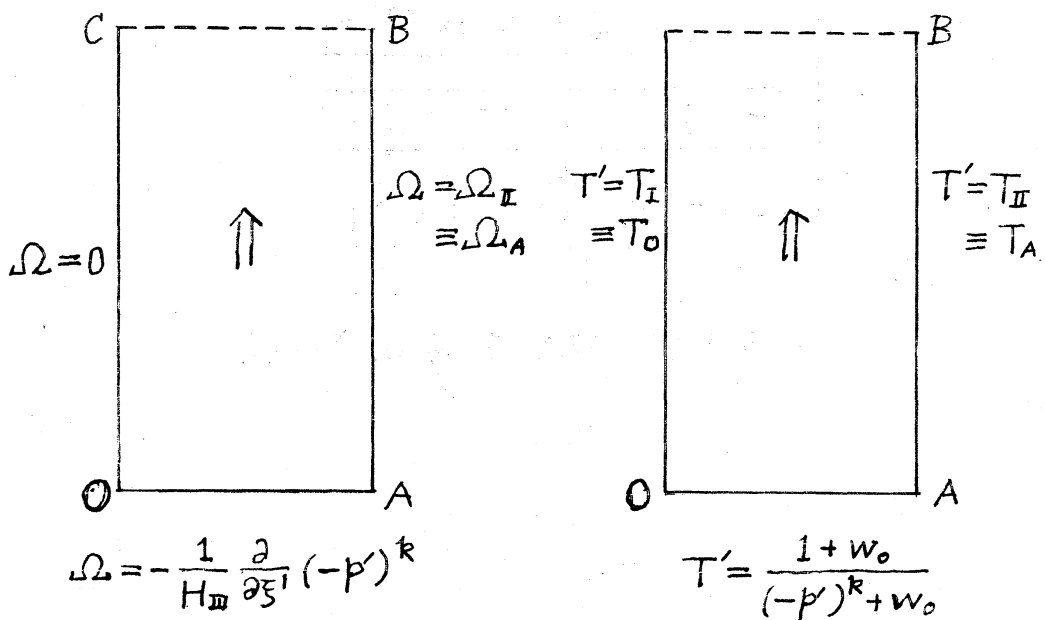
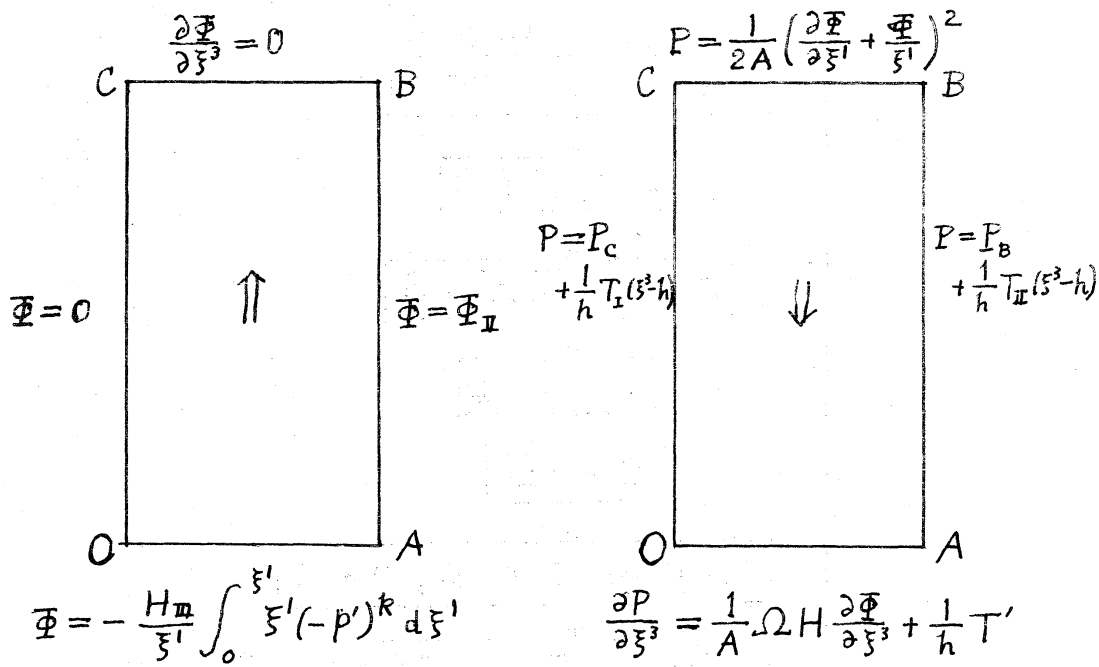
とします。IV の境界条件は (3-31) とあります。

これら 4 個の境界条件を模式的に書くと第 4 図の如くです。

§ 4. 数値計算

計算の流れは第 5 図の如くです。まず初期の値として円筒形冷却塔のばあいの厳密解を持ち、 $C^2 = 10^{-2}$ 、 δ を 0.5 回転双曲面壁の冷却塔のばあいの数値計算を行ふ。図中 F と ϕ のは湯の中で基礎方程式を差分形にあらわめて解くことを意味する。

今ままでの計算では数値的不安定性があらわれてしまつたことがあります。その原因は計算値の処理の不正確さにあると思われます。



*4 図 境界条件

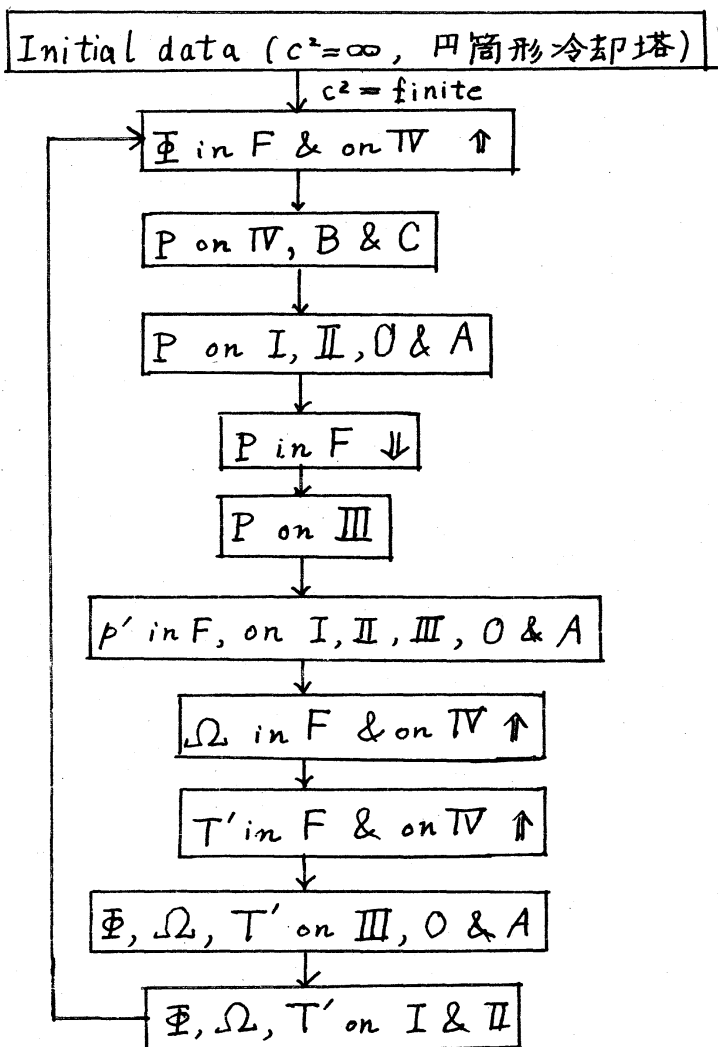


図5 数値計算の流れ